

Figura II.5.1.2-22: Seções verticais dos parâmetros temperatura, salinidade e densidade (em sigma-t) para os Perfis 1 e 4 (adaptado de PETROBRAS 2004).

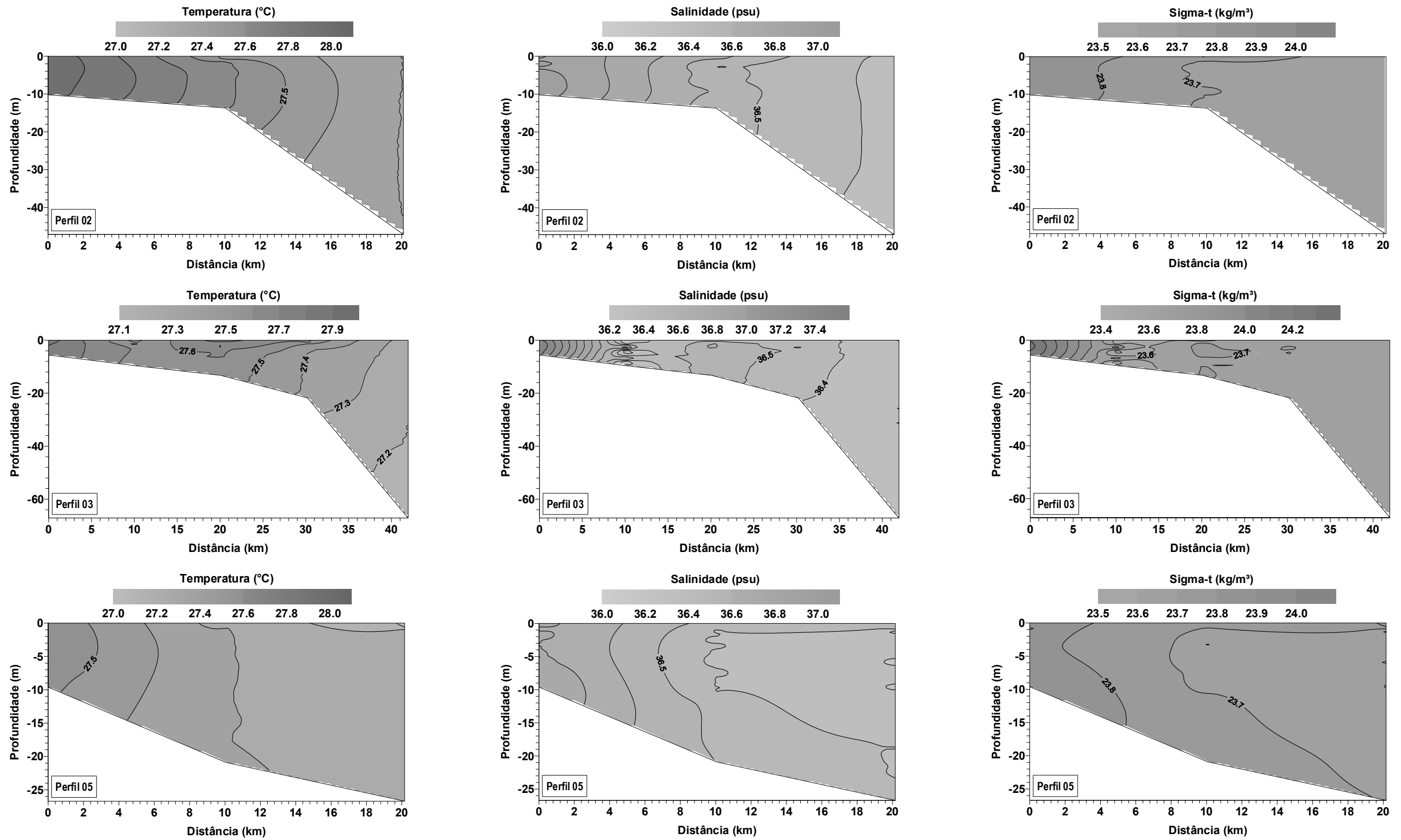


Figura II.5.1.2-22 (Continuação): Seções verticais dos parâmetros temperatura, salinidade e densidade (em sigma-t) para os Perfis 2, 3 e 5 (adaptado de PETROBRAS 2005b).

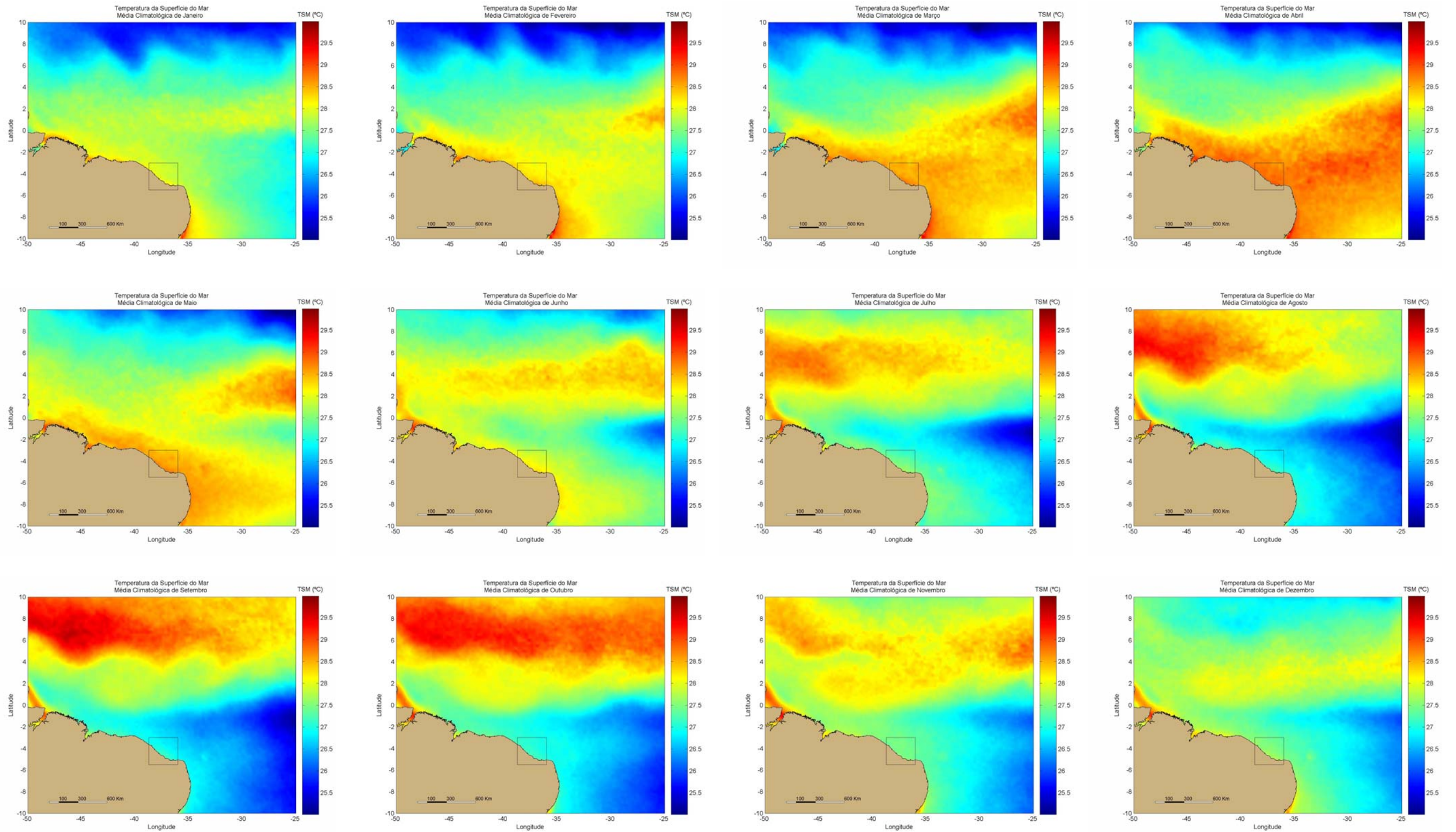


Figura II.5.1.2-23: Mapas de valores médios mensais de TSM para dados de janeiro de 1998 a dezembro de 2002 do sensor remoto TMI. A área de influência do Campo de Siri está inscrita no polígono quadrilátero indicado.

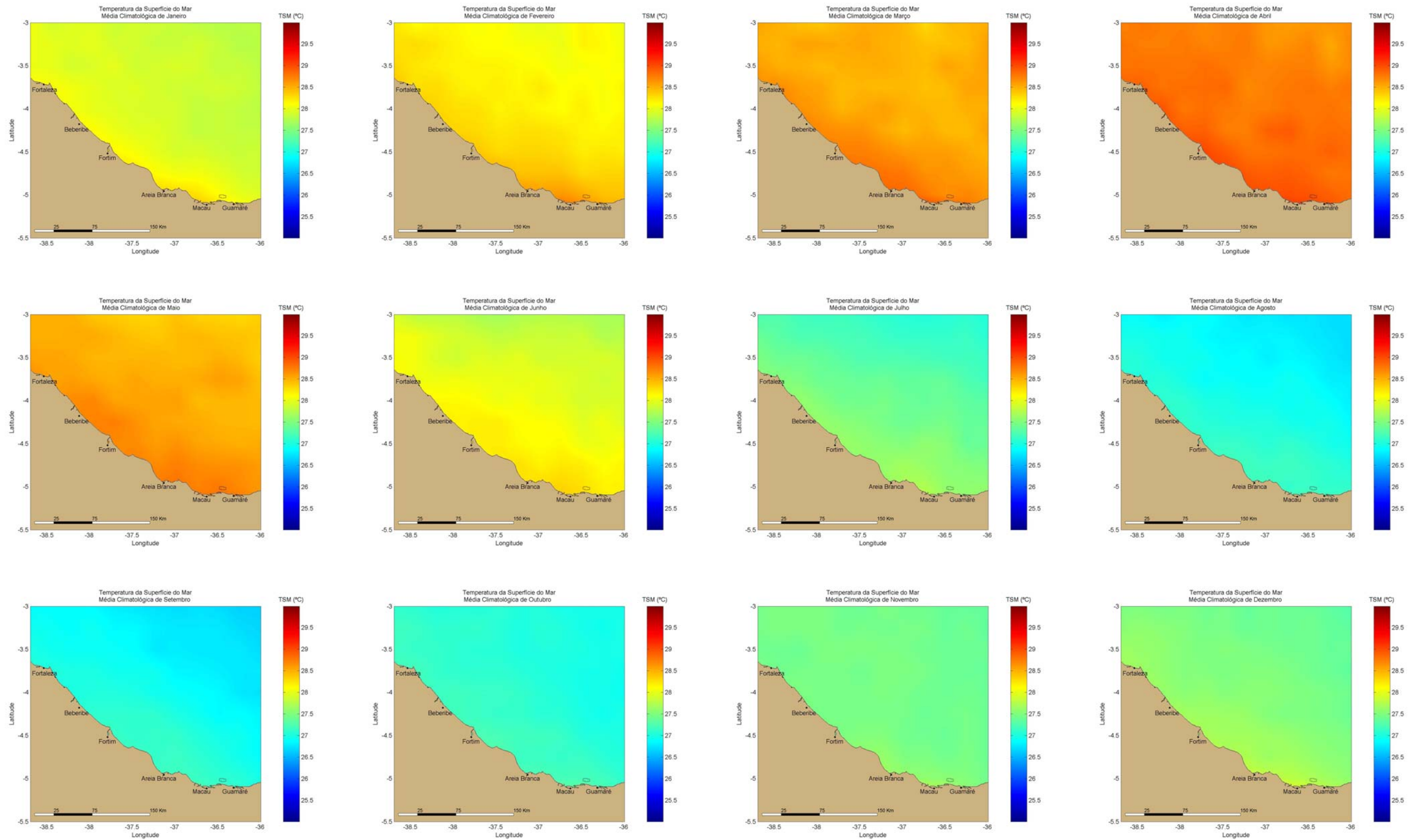


Figura II.5.1.2-24 : Mapas de valores médios mensais de TSM para dados de janeiro de 1998 a dezembro de 2002 do sensor remoto TMI, para a região da área de influência do Campo de Siri.

**Tabela II.5.1.2-9:** Ocorrência relativa (em %) da série de dados de correntes do Fundeio 3, a 2 metros de profundidade, por faixas de direção e de intensidade.

Velocidade (cm/s)	0° – 10°	10° – 20°	20° – 30°	30° – 40°	40° – 50°	50° – 60°	60° – 70°	70° – 80°	80° – 90°	90° – 100°	100° – 110°	110° – 120°	120° – 130°	130° – 140°	140° – 150°	150° – 160°	160° – 170°	170° – 180°	180° – 190°	190° – 200°	200° – 210°	210° – 220°	220° – 230°	230° – 240°	240° – 250°	250° – 260°	260° – 270°	270° – 280°	280° – 290°	290° – 300°	300° – 310°	310° – 320°	320° – 330°	330° – 340°	340° – 350°	350° – 360°	Totais	
0-5	0,23	0,35	0,21	0,31	0,22	0,18	0,15	0,21	0,15	0,13	0,19	0,15	0,30	0,23	0,13	0,13	0,21	0,27	0,32	0,37	0,34	0,34	0,43	0,48	0,39	0,61	0,42	0,42	0,38	0,40	0,39	0,30	0,25	0,24	0,30	0,30	10,39	
5-10	0,90	0,65	0,62	0,61	0,64	0,40	0,47	0,48	0,34	0,33	0,26	0,24	0,22	0,26	0,18	0,38	0,31	0,43	0,50	0,58	0,79	0,64	0,99	1,18	1,44	1,66	1,93	2,37	1,79	1,29	1,19	0,96	0,95	0,90	0,91	0,91	28,70	
10-15	1,47	1,14	1,34	1,03	0,75	0,64	0,64	0,48	0,55	0,41	0,27	0,24	0,25	0,19	0,15	0,22	0,17	0,34	0,38	0,24	0,24	0,35	0,37	0,68	1,02	1,35	1,77	2,42	2,63	1,95	1,24	1,13	1,21	1,14	1,15	1,13	30,68	
15-20	1,14	1,18	1,45	0,88	0,88	0,62	0,57	0,41	0,51	0,22	0,25	0,08	0,07	0,08	0,09	0,07	0,16	0,13	0,15	0,05	0,02	0,08	0,01	0,14	0,23	0,26	0,42	1,24	2,13	1,32	0,98	0,79	0,88	1,06	1,08	1,15	20,79	
20-25	0,38	0,37	0,25	0,29	0,24	0,35	0,26	0,26	0,19	0,18	0,06	-	-	0,01	0,01	-	-	0,01	0,05	-	-	-	-	0,01	0,02	0,02	0,05	0,61	1,04	0,66	0,40	0,30	0,48	0,42	0,45	0,35	7,72	
25-30	0,05	0,03	0,03	0,01	-	0,05	0,06	0,11	0,08	0,06	0,01	-	-	-	-	-	-	-	-	-	-	-	-	-	-	-	-	0,01	0,21	0,26	0,10	0,08	0,02	0,05	0,10	0,06	0,08	1,46
30-35	0,01	-	-	-	-	0,01	-	0,01	0,05	0,03	-	-	-	-	-	-	-	-	-	-	-	-	-	-	-	-	-	-	0,06	0,01	0,03	0,02	-	0,01	0,01	-	-	0,26
35-40	-	-	-	-	-	-	-	-	-	-	-	-	-	-	-	-	-	-	-	-	-	-	-	-	-	-	-	-	-	-	-	-	-	-	-	-	-	-
<b>Totais</b>	<b>4,18</b>	<b>3,72</b>	<b>3,89</b>	<b>3,12</b>	<b>2,73</b>	<b>2,25</b>	<b>2,15</b>	<b>1,96</b>	<b>1,87</b>	<b>1,36</b>	<b>1,05</b>	<b>0,71</b>	<b>0,83</b>	<b>0,78</b>	<b>0,56</b>	<b>0,79</b>	<b>0,84</b>	<b>1,19</b>	<b>1,39</b>	<b>1,23</b>	<b>1,39</b>	<b>1,42</b>	<b>1,80</b>	<b>2,49</b>	<b>3,09</b>	<b>3,89</b>	<b>4,60</b>	<b>7,33</b>	<b>8,24</b>	<b>5,76</b>	<b>4,30</b>	<b>3,49</b>	<b>3,82</b>	<b>3,88</b>	<b>3,95</b>	<b>3,93</b>	<b>10-</b>	

**Tabela II.5.1.2-10:** Ocorrência relativa (em %) da série de dados de correntes do Fundeio 3, a 5 metros de profundidade, por faixas de direção e de intensidade.

Velocidade (cm/s)	0° – 10°	10° – 20°	20° – 30°	30° – 40°	40° – 50°	50° – 60°	60° – 70°	70° – 80°	80° – 90°	90° – 100°	100° – 110°	110° – 120°	120° – 130°	130° – 140°	140° – 150°	150° – 160°	160° – 170°	170° – 180°	180° – 190°	190° – 200°	200° – 210°	210° – 220°	220° – 230°	230° – 240°	240° – 250°	250° – 260°	260° – 270°	270° – 280°	280° – 290°	290° – 300°	300° – 310°	310° – 320°	320° – 330°	330° – 340°	340° – 350°	350° – 360°	Totais	
0-5	0,17	0,34	0,17	0,26	0,23	0,15	0,17	0,13	0,15	0,15	0,13	0,13	0,24	0,26	0,09	0,17	0,25	0,27	0,34	0,30	0,31	0,38	0,46	0,35	0,48	0,41	0,31	0,40	0,30	0,35	0,23	0,27	0,15	0,27	0,31	9,25		
5-10	0,76	0,63	0,55	0,59	0,50	0,38	0,39	0,49	0,29	0,37	0,25	0,25	0,26	0,19	0,16	0,33	0,31	0,43	0,55	0,62	0,88	0,57	1,03	1,13	1,31	1,56	1,86	2,03	1,61	1,14	1,10	0,81	0,89	0,84	0,84	0,84	26,76	
10-15	1,34	0,99	1,23	0,87	0,74	0,64	0,68	0,46	0,50	0,38	0,32	0,24	0,23	0,24	0,16	0,23	0,19	0,33	0,35	0,21	0,23	0,37	0,45	0,81	1,19	1,40	2,00	2,37	2,34	1,78	1,24	1,08	1,07	1,00	0,96	1,08	29,71	
15-20	1,22	1,18	1,47	0,89	0,78	0,61	0,54	0,41	0,47	0,30	0,21	0,11	0,09	0,11	0,10	0,10	0,16	0,17	0,18	0,09	0,07	0,14	0,02	0,13	0,33	0,41	0,65	1,51	2,19	1,56	0,94	0,80	0,91	1,12	1,11	1,04	22,11	
20-25	0,45	0,48	0,37	0,47	0,33	0,42	0,38	0,26	0,24	0,16	0,10	0,01	0,01	0,01	0,02	-	0,01	0,03	0,06	-	-	-	0,01	0,06	0,03	0,03	0,07	0,63	1,14	0,65	0,46	0,37	0,58	0,54	0,53	0,51	9,42	
25-30	0,06	0,07	0,06	0,02	0,01	0,07	0,10	0,15	0,10	0,09	0,02	-	-	-	-	-	-	-	-	-	-	-	-	-	-	-	-	0,02	0,29	0,38	0,22	0,10	0,05	0,11	0,13	0,11	0,09	2,25
30-35	0,01	-	-	-	-	0,01	-	0,02	0,06	0,05	-	-	-	-	-	-	-	-	-	-	-	-	-	-	-	-	-	-	0,10	0,10	0,02	0,06	-	0,01	0,02	-	-	0,49
35-40	-	-	-	-	-	-	-	-	0,01	-	-	-	-	-	-	-	-	-	-	-	-	-	-	-	-	-	-	-	-	-	-	-	-	-	-	-	-	0,01
<b>Totais</b>	<b>4,01</b>	<b>3,69</b>	<b>3,85</b>	<b>3,11</b>	<b>2,59</b>	<b>2,27</b>	<b>2,26</b>	<b>1,92</b>	<b>1,82</b>	<b>1,48</b>	<b>1,03</b>	<b>0,74</b>	<b>0,83</b>	<b>0,82</b>	<b>0,54</b>	<b>0,83</b>	<b>0,84</b>	<b>1,22</b>	<b>1,42</b>	<b>1,26</b>	<b>1,47</b>	<b>1,38</b>	<b>1,88</b>	<b>2,58</b>	<b>3,22</b>	<b>3,89</b>	<b>5,01</b>	<b>7,24</b>	<b>8,16</b>	<b>5,67</b>	<b>4,25</b>	<b>3,33</b>	<b>3,86</b>	<b>3,80</b>	<b>3,82</b>	<b>3,90</b>	<b>10-</b>	

**Tabela II.5.1.2-11:** Ocorrência relativa (em %) da série de dados de correntes do Fundeio 3, a 10 metros de profundidade, por faixas de direção e de intensidade.

Velocidade (cm/s)	0°-10°	10°-20°	20°-30°	30°-40°	40°-50°	50°-60°	60°-70°	70°-80°	80°-90°	90°-100°	100°-110°	110°-120°	120°-130°	130°-140°	140°-150°	150°-160°	160°-170°	170°-180°	180°-190°	190°-200°	200°-210°	210°-220°	220°-230°	230°-240°	240°-250°	250°-260°	260°-270°	270°-280°	280°-290°	290°-300°	300°-310°	310°-320°	320°-330°	330°-340°	340°-350°	350°-360°	Totais	
0-5	0,16	0,32	0,14	0,32	0,19	0,16	0,16	0,08	0,15	0,13	0,17	0,10	0,18	0,26	0,14	0,13	0,14	0,27	0,21	0,34	0,24	0,29	0,40	0,39	0,34	0,46	0,32	0,31	0,34	0,25	0,26	0,22	0,27	0,17	0,23	0,30	8,53	
5-10	0,74	0,62	0,47	0,57	0,48	0,34	0,37	0,46	0,30	0,37	0,24	0,26	0,23	0,24	0,14	0,38	0,33	0,40	0,61	0,59	0,87	0,66	0,96	1,22	1,19	1,56	1,72	1,80	1,44	1,13	1,00	0,79	0,80	0,76	0,79	0,80	25,62	
10-15	1,29	0,91	1,18	0,83	0,75	0,66	0,62	0,49	0,50	0,38	0,34	0,24	0,21	0,25	0,15	0,23	0,17	0,34	0,38	0,24	0,26	0,40	0,54	0,91	1,16	1,58	2,13	2,39	2,27	1,66	1,13	1,03	1,00	0,99	0,84	1,02	29,47	
15-20	1,13	1,19	1,35	0,90	0,73	0,64	0,54	0,42	0,47	0,32	0,23	0,14	0,13	0,11	0,13	0,11	0,19	0,19	0,19	0,09	0,10	0,16	0,03	0,15	0,42	0,50	0,81	1,71	2,09	1,59	0,91	0,82	0,97	1,06	1,10	0,98	22,61	
20-25	0,48	0,50	0,39	0,54	0,42	0,46	0,38	0,29	0,30	0,19	0,11	0,02	0,02	0,02	0,03	-	0,01	0,05	0,08	-	-	-	0,01	0,10	0,06	0,03	0,15	0,71	1,24	0,65	0,47	0,41	0,58	0,54	0,51	0,48	10,24	
25-30	0,06	0,10	0,07	0,06	0,02	0,10	0,14	0,14	0,11	0,06	0,02	-	-	-	-	-	-	-	-	-	-	-	-	-	-	-	-	0,02	0,39	0,43	0,30	0,10	0,06	0,13	0,18	0,17	0,14	2,80
30-35	0,01	-	-	-	-	0,01	0,01	0,06	0,05	0,07	-	-	-	-	-	-	-	-	-	-	-	-	-	-	-	-	-	-	0,11	0,13	0,05	0,03	0,01	0,02	0,02	-	0,03	0,62
35-40	-	-	-	-	-	-	-	-	0,05	0,01	-	-	-	-	-	-	-	-	-	-	-	-	-	-	-	-	-	-	0,03	0,01	-	0,01	-	-	-	-	-	0,11
<b>Totais</b>	<b>3,87</b>	<b>3,64</b>	<b>3,58</b>	<b>3,22</b>	<b>2,60</b>	<b>2,37</b>	<b>2,20</b>	<b>1,93</b>	<b>1,92</b>	<b>1,52</b>	<b>1,12</b>	<b>0,76</b>	<b>0,76</b>	<b>0,89</b>	<b>0,58</b>	<b>0,84</b>	<b>0,84</b>	<b>1,26</b>	<b>1,46</b>	<b>1,27</b>	<b>1,47</b>	<b>1,51</b>	<b>1,94</b>	<b>2,77</b>	<b>3,17</b>	<b>4,13</b>	<b>5,16</b>	<b>7,45</b>	<b>7,96</b>	<b>5,62</b>	<b>3,93</b>	<b>3,33</b>	<b>3,78</b>	<b>3,73</b>	<b>3,64</b>	<b>3,74</b>	<b>10-</b>	

**Tabela II.5.1.2-12:** Ocorrência relativa (em %) da série de dados de correntes do Fundeio 3, a 15 metros de profundidade, por faixas de direção e de intensidade.

Velocidade (cm/s)	0°-10°	10°-20°	20°-30°	30°-40°	40°-50°	50°-60°	60°-70°	70°-80°	80°-90°	90°-100°	100°-110°	110°-120°	120°-130°	130°-140°	140°-150°	150°-160°	160°-170°	170°-180°	180°-190°	190°-200°	200°-210°	210°-220°	220°-230°	230°-240°	240°-250°	250°-260°	260°-270°	270°-280°	280°-290°	290°-300°	300°-310°	310°-320°	320°-330°	330°-340°	340°-350°	350°-360°	Totais	
0-5	0,19	0,25	0,18	0,30	0,21	0,16	0,17	0,11	0,10	0,16	0,13	0,14	0,16	0,26	0,15	0,13	0,15	0,27	0,26	0,27	0,24	0,31	0,40	0,31	0,42	0,38	0,31	0,34	0,35	0,30	0,23	0,23	0,25	0,17	0,23	0,26	8,48	
5-10	0,71	0,65	0,46	0,57	0,46	0,34	0,35	0,40	0,35	0,35	0,26	0,29	0,23	0,24	0,15	0,35	0,34	0,39	0,61	0,63	0,83	0,70	0,99	1,21	1,26	1,53	1,69	1,75	1,43	1,05	1,02	0,75	0,81	0,78	0,79	0,79	25,49	
10-15	1,30	0,88	1,13	0,83	0,78	0,70	0,61	0,50	0,47	0,40	0,33	0,23	0,21	0,26	0,15	0,24	0,17	0,37	0,34	0,23	0,31	0,41	0,55	0,90	1,21	1,58	2,11	2,36	2,25	1,66	1,03	1,05	0,97	0,97	0,86	0,99	29,32	
15-20	1,11	1,19	1,37	0,91	0,71	0,63	0,58	0,40	0,46	0,30	0,26	0,15	0,13	0,11	0,13	0,10	0,18	0,17	0,22	0,11	0,09	0,16	0,05	0,18	0,45	0,54	0,86	1,74	2,09	1,62	0,86	0,82	0,97	1,04	1,08	0,98	22,73	
20-25	0,51	0,49	0,40	0,53	0,43	0,42	0,39	0,29	0,33	0,18	0,13	0,02	0,02	0,02	0,03	0,01	0,02	0,08	0,08	-	-	-	0,01	0,10	0,06	0,03	0,15	0,72	1,26	0,64	0,48	0,40	0,58	0,55	0,50	0,46	10,33	
25-30	0,06	0,10	0,08	0,06	0,02	0,11	0,14	0,15	0,14	0,07	0,02	-	-	-	-	-	-	-	-	-	-	-	-	-	-	-	0,02	0,43	0,43	0,27	0,10	0,06	0,13	0,18	0,17	0,14	2,89	
30-35	0,01	-	-	-	-	0,01	0,01	0,07	0,05	0,08	-	-	-	-	-	-	-	-	-	-	-	-	-	-	-	-	-	-	0,11	0,13	0,07	0,02	0,01	0,02	0,02	-	0,03	0,65
35-40	-	-	-	-	-	-	-	-	0,05	0,01	-	-	-	-	-	-	-	-	-	-	-	-	-	-	-	-	-	-	0,03	0,01	0,01	-	-	-	-	-	-	0,11
<b>Totais</b>	<b>3,89</b>	<b>3,56</b>	<b>3,62</b>	<b>3,20</b>	<b>2,60</b>	<b>2,37</b>	<b>2,25</b>	<b>1,92</b>	<b>1,94</b>	<b>1,55</b>	<b>1,13</b>	<b>0,82</b>	<b>0,74</b>	<b>0,90</b>	<b>0,61</b>	<b>0,83</b>	<b>0,87</b>	<b>1,28</b>	<b>1,51</b>	<b>1,24</b>	<b>1,47</b>	<b>1,58</b>	<b>2,00</b>	<b>2,71</b>	<b>3,39</b>	<b>4,05</b>	<b>5,14</b>	<b>7,49</b>	<b>7,95</b>	<b>5,62</b>	<b>3,73</b>	<b>3,32</b>	<b>3,73</b>	<b>3,71</b>	<b>3,63</b>	<b>3,65</b>	<b>10-</b>	

**Tabela II.5.1.2-13:** Ocorrência relativa (em %) da série de dados de correntes do Fundeio 3, a 20 metros de profundidade, por faixas de direção e de intensidade.

Velocidade (cm/s)	0° – 10°	10° – 20°	20° – 30°	30° – 40°	40° – 50°	50° – 60°	60° – 70°	70° – 80°	80° – 90°	90° – 100°	100° – 110°	110° – 120°	120° – 130°	130° – 140°	140° – 150°	150° – 160°	160° – 170°	170° – 180°	180° – 190°	190° – 200°	200° – 210°	210° – 220°	220° – 230°	230° – 240°	240° – 250°	250° – 260°	260° – 270°	270° – 280°	280° – 290°	290° – 300°	300° – 310°	310° – 320°	320° – 330°	330° – 340°	340° – 350°	350° – 360°	Totais	
0-5	0,18	0,29	0,23	0,29	0,24	0,18	0,15	0,16	0,10	0,15	0,15	0,13	0,19	0,25	0,14	0,13	0,18	0,26	0,34	0,21	0,30	0,35	0,41	0,33	0,50	0,35	0,34	0,35	0,41	0,29	0,27	0,21	0,33	0,14	0,30	0,29	9,11	
5-10	0,75	0,67	0,49	0,58	0,47	0,38	0,37	0,43	0,38	0,35	0,26	0,29	0,24	0,24	0,17	0,39	0,35	0,39	0,65	0,66	0,81	0,68	1,05	1,23	1,29	1,64	1,74	1,92	1,42	1,07	1,03	0,80	0,83	0,76	0,76	0,78	26,34	
10-15	1,29	0,92	1,18	0,82	0,80	0,71	0,61	0,49	0,50	0,40	0,35	0,24	0,21	0,26	0,15	0,23	0,21	0,37	0,33	0,23	0,27	0,41	0,46	0,94	1,22	1,52	2,17	2,26	2,28	1,63	1,06	1,06	1,07	0,98	0,94	1,00	29,57	
15-20	1,14	1,14	1,40	0,96	0,67	0,67	0,57	0,42	0,47	0,31	0,26	0,14	0,13	0,13	0,11	0,13	0,22	0,16	0,17	0,10	0,09	0,15	0,02	0,16	0,38	0,43	0,75	1,75	2,11	1,61	0,84	0,73	0,88	1,07	1,02	1,03	22,33	
20-25	0,45	0,48	0,31	0,47	0,45	0,43	0,41	0,26	0,33	0,19	0,11	0,02	0,02	0,02	0,03	-	0,02	0,05	0,07	-	-	-	0,01	0,08	0,05	0,03	0,10	0,65	1,14	0,64	0,41	0,39	0,56	0,47	0,53	0,45	9,63	
25-30	0,06	0,06	0,06	0,05	0,01	0,08	0,10	0,17	0,13	0,06	0,02	-	-	-	-	-	-	-	-	-	-	-	-	-	-	-	0,02	0,37	0,40	0,24	0,09	0,03	0,11	0,13	0,10	0,08	2,36	
30-35	0,01	-	-	-	-	0,01	-	0,06	0,03	0,07	-	-	-	-	-	-	-	-	-	-	-	-	-	-	-	-	-	0,13	0,11	0,05	0,02	0,01	0,01	0,01	0,02	-	0,02	0,56
35-40	-	-	-	-	-	-	-	-	0,05	0,01	-	-	-	-	-	-	-	-	-	-	-	-	-	-	-	-	-	0,02	0,01	0,01	-	-	-	-	-	-	-	0,10
<b>Totais</b>	<b>3,88</b>	<b>3,56</b>	<b>3,66</b>	<b>3,16</b>	<b>2,64</b>	<b>2,47</b>	<b>2,20</b>	<b>2,00</b>	<b>1,99</b>	<b>1,54</b>	<b>1,16</b>	<b>0,81</b>	<b>0,79</b>	<b>0,90</b>	<b>0,61</b>	<b>0,87</b>	<b>0,98</b>	<b>1,22</b>	<b>1,56</b>	<b>1,20</b>	<b>1,47</b>	<b>1,60</b>	<b>1,95</b>	<b>2,74</b>	<b>3,44</b>	<b>3,98</b>	<b>5,13</b>	<b>7,44</b>	<b>7,89</b>	<b>5,54</b>	<b>3,73</b>	<b>3,23</b>	<b>3,80</b>	<b>3,57</b>	<b>3,64</b>	<b>3,64</b>	<b>10-</b>	

**Tabela II.5.1.2-14:** Ocorrência relativa (em %) da série de dados de correntes do Fundeio 3, a 25 metros de profundidade, por faixas de direção e de intensidade.

Velocidade (cm/s)	0° – 10°	10° – 20°	20° – 30°	30° – 40°	40° – 50°	50° – 60°	60° – 70°	70° – 80°	80° – 90°	90° – 100°	100° – 110°	110° – 120°	120° – 130°	130° – 140°	140° – 150°	150° – 160°	160° – 170°	170° – 180°	180° – 190°	190° – 200°	200° – 210°	210° – 220°	220° – 230°	230° – 240°	240° – 250°	250° – 260°	260° – 270°	270° – 280°	280° – 290°	290° – 300°	300° – 310°	310° – 320°	320° – 330°	330° – 340°	340° – 350°	350° – 360°	Totais	
0-5	0,34	0,18	0,29	0,25	0,30	0,18	0,21	0,13	0,13	0,14	0,18	0,23	0,26	0,19	0,17	0,17	0,27	0,34	0,33	0,33	0,38	0,35	0,54	0,39	0,55	0,57	0,46	0,49	0,38	0,48	0,40	0,40	0,25	0,33	0,25	0,27	11,11	
5-10	0,83	0,86	0,59	0,66	0,59	0,46	0,45	0,54	0,39	0,39	0,25	0,27	0,35	0,14	0,27	0,40	0,32	0,49	0,62	0,59	0,73	0,76	0,92	1,24	1,28	1,67	2,15	2,12	1,78	1,43	1,22	0,90	0,81	0,89	0,75	0,99	29,12	
10-15	1,38	1,15	1,32	0,98	0,83	0,70	0,72	0,48	0,56	0,42	0,31	0,23	0,27	0,24	0,17	0,25	0,23	0,37	0,32	0,27	0,25	0,30	0,37	0,63	0,96	1,16	1,51	2,25	2,56	1,96	1,19	1,03	1,23	1,05	1,20	1,11	29,95	
15-20	1,12	1,28	1,45	1,02	0,84	0,66	0,58	0,45	0,49	0,29	0,25	0,10	0,09	0,09	0,11	0,06	0,21	0,13	0,11	0,03	0,02	0,08	0,03	0,14	0,17	0,19	0,40	1,12	1,87	1,22	0,90	0,66	0,89	0,90	1,16	1,13	20,26	
20-25	0,42	0,41	0,31	0,38	0,30	0,41	0,38	0,29	0,24	0,19	0,08	0,01	-	0,01	0,02	-	0,02	0,02	0,06	-	-	-	0,01	-	0,02	0,02	0,05	0,55	0,84	0,57	0,38	0,26	0,39	0,47	0,38	0,33	7,82	
25-30	0,06	0,05	0,03	0,02	0,01	0,07	0,07	0,14	0,08	0,07	0,01	-	-	-	-	-	-	-	-	-	-	-	-	-	-	-	0,01	0,18	0,24	0,11	0,06	0,01	0,02	0,10	0,05	0,09	1,48	
30-35	0,01	-	-	-	-	0,01	-	0,01	0,06	0,05	-	-	-	-	-	-	-	-	-	-	-	-	-	-	-	-	-	0,05	-	0,02	0,02	-	0,01	-	0,01	-	-	0,25
35-40	-	-	-	-	-	-	-	-	-	-	-	-	-	-	-	-	-	-	-	-	-	-	-	-	-	-	-	-	-	-	-	-	-	-	-	-	-	-
<b>Totais</b>	<b>4,17</b>	<b>3,93</b>	<b>4,00</b>	<b>3,31</b>	<b>2,88</b>	<b>2,49</b>	<b>2,40</b>	<b>2,02</b>	<b>1,94</b>	<b>1,54</b>	<b>1,08</b>	<b>0,84</b>	<b>0,98</b>	<b>0,67</b>	<b>0,75</b>	<b>0,88</b>	<b>1,05</b>	<b>1,35</b>	<b>1,44</b>	<b>1,23</b>	<b>1,38</b>	<b>1,50</b>	<b>1,87</b>	<b>2,40</b>	<b>2,98</b>	<b>3,62</b>	<b>4,57</b>	<b>6,76</b>	<b>7,67</b>	<b>5,80</b>	<b>4,17</b>	<b>3,26</b>	<b>3,61</b>	<b>3,74</b>	<b>3,80</b>	<b>3,93</b>	<b>10-</b>	

**Tabela II.5.1.2-15:** Ocorrência relativa (em %) da série de dados de correntes do Fundeio 1, a 2 metros de profundidade, por faixas de direção e de intensidade.

Velocidade (cm/s)	0° – 15°	15° – 30°	30° – 45°	45° – 60°	60° – 75°	75° – 90°	90° – 105°	105° – 120°	120° – 135°	135° – 150°	150° – 165°	165° – 180°	180° – 195°	195° – 210°	210° – 225°	225° – 240°	240° – 255°	255° – 270°	270° – 285°	285° – 300°	300° – 315°	315° – 330°	330° – 345°	345° – 360°	Totais
0-5	0,28	0,28	0,56	0,28	0,85	0,56	-	-	0,28	0,28	0,28	-	-	-	-	0,56	0,28	1,41	0,28	0,28	0,56	0,56	1,13	8,73	
5-10	1,69	3,10	2,82	0,56	1,13	0,56	-	-	0,28	-	-	0,28	-	-	1,41	1,97	2,25	3,38	1,41	1,69	0,85	1,13	0,56	2,25	27,32
10-15	1,41	5,63	3,94	3,94	2,25	0,85	-	0,28	-	-	-	-	-	0,28	1,41	3,10	3,66	4,51	2,25	1,41	0,28	-	1,13	0,85	37,18
15-20	0,28	1,41	2,25	3,10	0,85	-	-	-	-	-	-	-	-	-	-	3,94	7,04	1,69	0,56	-	0,28	-	-	-	21,41
20-25	-	0,28	-	0,28	-	-	-	-	-	-	-	-	-	-	-	1,13	2,25	1,41	-	-	-	-	-	-	5,35
25-30	-	-	-	-	-	-	-	-	-	-	-	-	-	-	-	-	-	-	-	-	-	-	-	-	-
30-35	-	-	-	-	-	-	-	-	-	-	-	-	-	-	-	-	-	-	-	-	-	-	-	-	-
35-40	-	-	-	-	-	-	-	-	-	-	-	-	-	-	-	-	-	-	-	-	-	-	-	-	-
40-45	-	-	-	-	-	-	-	-	-	-	-	-	-	-	-	-	-	-	-	-	-	-	-	-	-
45-50	-	-	-	-	-	-	-	-	-	-	-	-	-	-	-	-	-	-	-	-	-	-	-	-	-
<b>Totais</b>	<b>3,66</b>	<b>10,7</b>	<b>9,58</b>	<b>8,17</b>	<b>5,07</b>	<b>1,97</b>	<b>-</b>	<b>0,28</b>	<b>0,56</b>	<b>0,28</b>	<b>0,28</b>	<b>0,28</b>	<b>-</b>	<b>0,28</b>	<b>2,82</b>	<b>10,1</b>	<b>15,77</b>	<b>11,27</b>	<b>5,63</b>	<b>3,38</b>	<b>1,69</b>	<b>1,69</b>	<b>2,25</b>	<b>4,23</b>	<b>100</b>

**Tabela II.5.1.2-16:** Ocorrência relativa (em %) da série de dados de correntes do Fundeio 2, a 3 metros de profundidade, por faixas de direção e de intensidade.

Velocidade (cm/s)	0° – 15°	15° – 30°	30° – 45°	45° – 60°	60° – 75°	75° – 90°	90° – 105°	105° – 120°	120° – 135°	135° – 150°	150° – 165°	165° – 180°	180° – 195°	195° – 210°	210° – 225°	225° – 240°	240° – 255°	255° – 270°	270° – 285°	285° – 300°	300° – 315°	315° – 330°	330° – 345°	345° – 360°	Totais
0-5	0,29	0,30	0,20	0,20	0,03	0,08	0,06	0,03	0,03	0,06	0,08	0,08	0,14	0,17	0,20	0,09	0,18	0,14	0,15	0,17	0,12	0,20	0,23	0,20	3,41
5-10	1,00	0,64	0,40	0,43	0,30	0,14	0,03	0,02	0,05	-	0,08	0,08	0,05	0,17	0,29	0,40	0,44	0,81	0,93	0,58	0,79	0,88	0,90	0,73	10,10
10-15	1,34	1,29	0,75	0,53	0,12	0,08	0,03	-	-	0,02	-	0,03	-	0,20	0,55	1,05	1,23	1,61	1,03	0,75	1,14	1,14	1,34	1,64	15,87
15-20	1,72	1,92	1,16	0,52	0,09	0,03	-	-	0,02	-	0,02	0,02	-	0,11	0,40	1,10	1,99	1,98	1,08	0,82	0,93	1,02	1,35	1,52	17,77
20-25	1,38	1,93	1,46	0,49	0,12	0,05	-	-	-	-	-	-	0,02	0,06	0,30	1,49	2,53	2,21	1,26	0,64	0,52	0,64	0,62	1,06	16,78
25-30	0,75	1,35	0,96	0,26	0,12	0,02	-	-	-	-	-	-	0,02	0,02	0,11	1,49	2,94	2,11	0,91	0,59	0,33	0,37	0,47	0,56	13,37
30-35	0,27	0,43	0,38	0,27	0,05	0,02	-	-	0,02	-	0,02	-	-	0,02	0,15	1,34	2,62	1,57	0,82	0,30	0,53	0,26	0,17	0,29	9,51
35-40	0,11	0,14	0,15	0,14	0,05	-	-	-	-	-	-	-	0,02	0,02	0,03	0,88	1,92	1,26	0,61	0,38	0,33	0,14	0,09	0,14	6,39
40-45	0,05	0,03	0,09	0,06	0,02	0,02	-	-	-	-	-	-	-	-	0,05	0,37	1,16	0,88	0,64	0,27	0,14	0,14	0,11	0,06	4,06
45-50	0,05	0,02	0,05	-	-	-	-	-	-	-	-	-	-	-	-	0,20	0,81	0,71	0,43	0,32	0,08	0,05	0,03	0,03	2,75
<b>Totais</b>	<b>6,95</b>	<b>8,05</b>	<b>5,58</b>	<b>2,89</b>	<b>0,90</b>	<b>0,41</b>	<b>0,12</b>	<b>0,05</b>	<b>0,11</b>	<b>0,08</b>	<b>0,18</b>	<b>0,20</b>	<b>0,23</b>	<b>0,75</b>	<b>2,07</b>	<b>8,40</b>	<b>15,80</b>	<b>13,28</b>	<b>7,86</b>	<b>4,82</b>	<b>4,91</b>	<b>4,82</b>	<b>5,31</b>	<b>6,24</b>	<b>100</b>



**Tabela II.5.1.2-17:** Ocorrência relativa (em %) da série de dados de correntes do Fundeio 3, a 2 metros de profundidade, por faixas de direção e de intensidade.

Velocidade (cm/s)	0° – 15°	15° – 30°	30° – 45°	45° – 60°	60° – 75°	75° – 90°	90° – 105°	105° – 120°	120° – 135°	135° – 150°	150° – 165°	165° – 180°	180° – 195°	195° – 210°	210° – 225°	225° – 240°	240° – 255°	255° – 270°	270° – 285°	285° – 300°	300° – 315°	315° – 330°	330° – 345°	345° – 360°	Totais
<b>0-5</b>	0,21	0,15	0,33	0,21	0,30	0,21	0,24	0,30	0,21	0,18	0,21	0,30	0,57	0,45	0,36	0,36	0,60	0,60	0,42	0,48	0,48	0,63	0,42	0,33	<b>8,60</b>
<b>5-10</b>	1,03	0,39	0,57	0,42	0,45	0,54	0,45	0,69	0,45	0,60	0,45	0,91	0,66	1,15	1,24	1,33	1,69	1,84	2,29	2,14	1,72	1,42	0,91	0,75	<b>24,12</b>
<b>10-15</b>	1,51	1,42	0,81	0,66	0,51	0,36	0,42	0,12	0,27	0,24	0,45	0,33	0,39	0,45	0,63	1,27	1,69	1,99	2,96	2,63	2,08	1,78	1,57	1,18	<b>25,75</b>
<b>15-20</b>	2,02	1,48	1,12	0,75	0,36	0,21	0,09	0,12	0,09	0,06	0,12	0,15	0,06	0,06	0,21	0,21	0,60	1,33	3,11	3,02	2,54	2,35	2,17	1,63	<b>23,88</b>
<b>20-25</b>	0,91	0,57	0,54	0,36	0,18	0,03	-	-	-	-	0,03	-	0,03	0,03	-	0,03	0,12	0,63	2,38	1,57	1,09	1,36	1,24	0,97	<b>12,07</b>
<b>25-30</b>	0,27	0,12	0,06	0,09	0,03	0,03	-	-	-	-	-	-	-	-	-	-	-	0,30	1,09	0,81	0,27	0,27	0,39	0,48	<b>4,23</b>
<b>30-35</b>	-	-	-	-	-	-	-	-	-	-	-	-	-	-	-	-	-	0,09	0,48	0,18	0,09	0,09	0,18	0,06	<b>1,18</b>
<b>35-40</b>	-	-	-	-	-	-	-	-	-	-	-	-	-	-	-	-	-	-	0,12	-	0,03	-	-	-	<b>0,15</b>
<b>40-45</b>	-	-	-	-	-	-	-	-	-	-	-	-	-	-	-	-	-	-	-	-	-	0,03	-	-	<b>0,03</b>
<b>45-50</b>	-	-	-	-	-	-	-	-	-	-	-	-	-	-	-	-	-	-	-	-	-	-	-	-	<b>-</b>
<b>Totais</b>	<b>5,95</b>	<b>4,14</b>	<b>3,44</b>	<b>2,51</b>	<b>1,84</b>	<b>1,39</b>	<b>1,21</b>	<b>1,24</b>	<b>1,03</b>	<b>1,09</b>	<b>1,27</b>	<b>1,69</b>	<b>1,72</b>	<b>2,14</b>	<b>2,44</b>	<b>3,20</b>	<b>4,71</b>	<b>6,79</b>	<b>12,86</b>	<b>10,84</b>	<b>8,30</b>	<b>7,94</b>	<b>6,88</b>	<b>5,40</b>	<b>100</b>